

Astronomical Optics

Chapter 3 Fermat's Principle: An Introduction
p27 - 47

30 Nov 2017

TK

もくじ

- 3.1 Fermat's Principle in General: フェルマーの原理の導入と必要条件
- 3.2 Fermat's principle and refracting surfaces
 - 3.2.a Laws of Refraction and Reflection: フェルマーの原理からのSnellの法則の導出
 - 3.2.b Spherical interface: フェルマーの原理から屈折の近軸公式の導出
 - 3.2.c Focal Length of Thin Lens: フェルマーの原理から薄レンズの焦点距離の導出
 - 3.2.d Dispersing Prism: フェルマーの原理からプリズムの角度分散の導出
- 3.3 Wave interpretation of Fermat's principle: フェルマーの原理における光の干渉の物理解釈
- 3.4 Fermat's Principle and reflecting surface: 凹面鏡・凸面鏡形状が満たすべき条件
- 3.5 conic section: conic constantの導入と各点における曲率半径
- 3.6 Fermat's Principle and the Atmosphere: 大気の屈折率とシーイング
- 3.7 Concluding remarks

3.1 Fermat's Principle in General

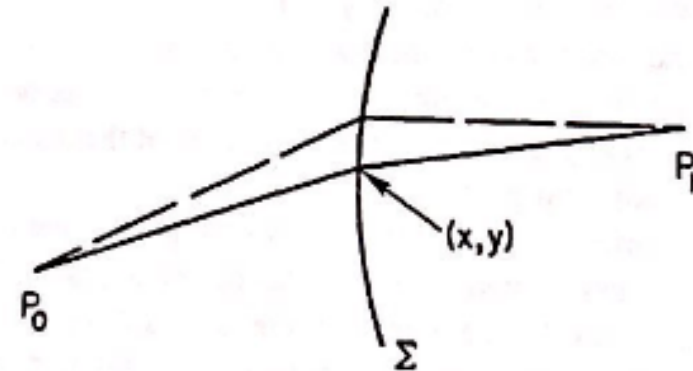
P0とP1を通る光線の行路を考える。
実線は実際の光路、破線は他の光路とする。

P0からP1に届くまでにかかる時間を τ とすると
 τ が静止する条件は

$$\partial\tau/\partial x = \partial\tau/\partial y = 0 \quad (3.1.1)$$

τ は光路長(Optical Pass Length; OPL)を用いて表すと、
微小時間 dt の間の光路長を用いて

$$\begin{aligned} d(OPL) &= c dt = (c/v)v dt = n ds \\ OPL &= c \int dt = \int n ds \end{aligned} \quad (3.1.2)$$



真空中の光速	c
媒質中の光速	v
媒質の屈折率	n

フェルマーの原理(Fermat's Principle)の一般形式

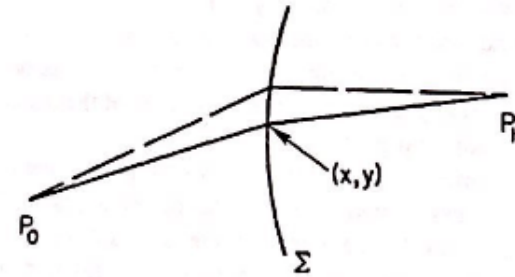
$$\delta\tau = 0 \quad \text{or} \quad \delta(OPL) = 0$$

2次元面の場合

屈折率 $n = n(y, z)$ 、 $ds = \sqrt{dy^2 + dz^2}$ の場合を考える。

$y' = dy/dz$ とおくと、フェルマーの原理は

$$d(OPL) = n ds = 0 \longrightarrow \delta \int_{P_0}^{P_1} n(y, z) \sqrt{(1 + y'^2)} dz = 0 \quad (3.1.3)$$



積分の中身 = $F(y, y', z)$ とおきかえる。

$$\delta \int_{P_0}^{P_1} F(y, y', z) dz = \int_{P_0}^{P_1} \delta F(y, y', z) dz = 0 \quad (3.1.4)$$

$$\delta F = \frac{\partial F}{\partial y} \delta y + \frac{\partial F}{\partial y'} \delta y' = \frac{\partial F}{\partial y} \delta y + \frac{\partial F}{\partial y'} \frac{d}{dz} (\delta y)$$

$$\frac{d}{dz} \left(\frac{\partial F}{\partial y'} \delta y \right) = \frac{\partial F}{\partial y'} \frac{d}{dz} (\delta y) + \frac{d}{dz} \left(\frac{\partial F}{\partial y'} \right) \delta y$$

$$\Leftrightarrow \int_{P_0}^{P_1} \frac{\partial F}{\partial y} \delta y dz + \frac{\partial F}{\partial y'} \delta y \Big|_{P_0}^{P_1} - \int_{P_0}^{P_1} \frac{d}{dz} \left(\frac{\partial F}{\partial y'} \right) \delta y dz = 0 \quad (3.1.5)$$

0 P_0, P_1 における δy は 0

$$\Leftrightarrow \int_{P_0}^{P_1} \left[\frac{\partial F}{\partial y} - \frac{d}{dz} \left(\frac{\partial F}{\partial y'} \right) \right] \delta y dz = 0$$

\Leftrightarrow
任意の δy で
積分が 0 になる

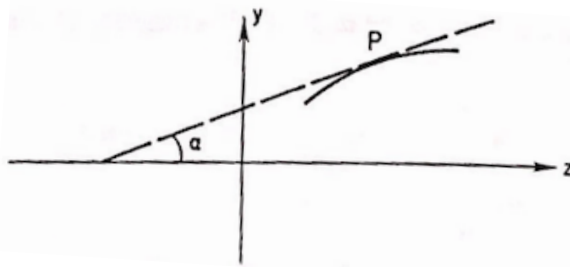
$$\frac{\partial F}{\partial y} - \frac{d}{dz} \left(\frac{\partial F}{\partial y'} \right) = 0 \quad (3.1.6)$$

フェルマーの原理成立に必要な等式

$F = n(y, z)\sqrt{(1 + y'^2)}$ であり、 y' は y と陽でない、かつ n は y' と独立であるから、

$$\frac{\partial F}{\partial y} - \frac{d}{dz} \left(\frac{\partial F}{\partial y'} \right) = 0 \iff \sqrt{(1 + y'^2)} \frac{\partial n}{\partial y} - \frac{d}{dz} \left[\frac{ny'}{\sqrt{(1 + y'^2)}} \right] = 0$$

$$\sqrt{(1 + y'^2)} \frac{\partial n}{\partial y} - n \frac{d}{dz} \left[\frac{y'}{\sqrt{(1 + y'^2)}} \right] - \left[\frac{y'}{\sqrt{(1 + y'^2)}} \right] \frac{dn}{dz} = 0 \quad (3.1.7)$$



点Pにおける傾き α を考える。

$$\iff \sec \alpha \frac{\partial n}{\partial y} - n \cos \alpha \frac{d\alpha}{dz} - \sin \alpha \frac{\partial n}{\partial z} = 0 \quad (3.1.9)$$

光路における曲率 κ を導入する。

$$\kappa = \frac{d\alpha}{ds} = \frac{d\alpha}{dz} \frac{dz}{ds} = \cos \alpha \frac{d\alpha}{dz} \quad \text{より}$$

$$n\kappa = n \cos \alpha \frac{d\alpha}{dz} = \sec \alpha \frac{\partial n}{\partial y} - \sin \alpha \frac{\partial n}{\partial z} \quad (3.1.10)$$

$$(3.1.8)$$

$$\tan \alpha = \frac{dy}{dz} = y'$$

$$\cos \alpha = \frac{dz}{ds} = \frac{1}{\sqrt{(1 + y'^2)}}$$

$$\sin \alpha = \frac{dy}{ds} = \frac{y'}{\sqrt{(1 + y'^2)}}$$

$$\frac{d}{dz} \sin \alpha = \cos \alpha \frac{d\alpha}{dz}$$

n が滑らかに変化するとき、光路の局所的な曲率を与える。
 n が定数の場合、 $\kappa = 0 \rightarrow$ 一様な媒質中の光は直進する。

3.2 Fermat's principle and refracting surfaces

3.2.a Laws of Refraction and Reflection

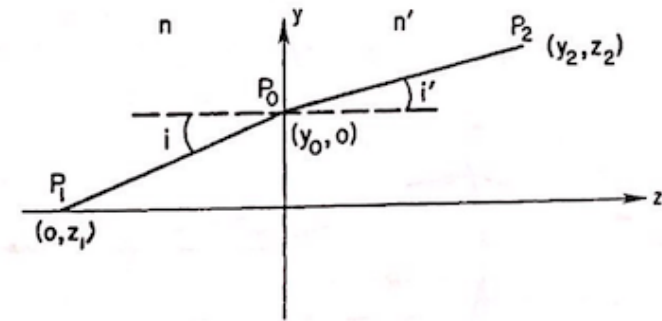
フェルマーの原理からのSnellの法則の導出

屈折率が n から n' に変化する面を考える。

フェルマーの原理から

$$\delta \left[n \int_{P_1}^{P_0} ds + n' \int_{P_0}^{P_2} ds \right] = 0$$

$$\Leftrightarrow \delta \left\{ n \sqrt{(z_1^2 + y_0^2)} + n' \sqrt{[z_2^2 + (y_2 - y_0)^2]} \right\} = 0$$



今、変数は y_0 であるから、

$$\left\{ n \frac{d}{dy_0} \sqrt{(z_1^2 + y_0^2)} + n' \frac{d}{dy_0} \sqrt{[z_2^2 + (y_2 - y_0)^2]} \right\} \delta y_0 = 0$$

これが任意の δy_0 で成り立つためには、 $\{ \} = 0$ 。微分を計算すると

$$n \frac{y_0}{\sqrt{(z_1^2 + y_0^2)}} - n' \frac{(y_2 - y_0)}{\sqrt{[z_2^2 + (y_2 - y_0)^2]}} = 0 \quad (3.2.2)$$

$$\Leftrightarrow n \sin i - n' \sin i' = 0 \text{ (Snellの屈折の法則)}$$

3.2.b Spherical interface

フェルマーの原理からの屈折の近軸公式の導出

点Pを經由して点BからB'に至る距離Lの光線を考える。余弦定理から

$$l = -\sqrt{R^2 + (R - s)^2 - 2R(R - s) \cos \phi}$$

$$l' = -\sqrt{R^2 + (s' - R)^2 - 2R(s' - R) \cos \phi}$$

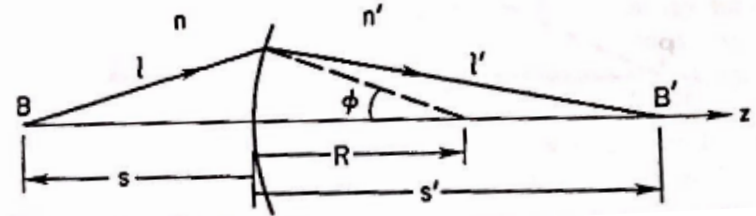
$L = -nl + n'l'$ であり、フェルマーの原理から $dL/d\phi = 0$ 。

$$\frac{dL}{d\phi} = -\frac{nR(R - s) \sin \phi}{l} - \frac{n'R(s' - R) \sin \phi}{l'} = 0 \quad (3.2.3)$$

近軸の極限では $l = s$ かつ $l' = s'$ 。

$$\Rightarrow \frac{n}{s} - \frac{n'}{s'} = \frac{n' - n}{R} \quad (2.2.5)$$

近軸公式



3.2.c Focal Length of Thin Lens

フェルマーの原理から薄レンズの焦点距離の導出

2つの対応する点同士を結ぶ全ての光線について、
フェルマーの原理が成り立たなければならない。
前の場合のBが十分遠い場合を考える。

z軸上を通る場合の光路長 L_0 は、

$$L_0 = [BO_1] + n[O_1O_2] + f'$$

また高さ y を通る近軸の光線では、 $z_2 < 0$ として

$$L_p = [BO_1] + z_1 + n[P_1P_2] - z_2 + l$$

$L_0 = L_p$ より $d = [O_1O_2]$ 、 $d - z_1 + z_2 = [P_1P_2]$ とおくと、

$$nd + f' = z_1 + n(d - z_1 + z_2) - z_2 + l \quad (3.2.4)$$

$$\Leftrightarrow l - f' = (n - 1)(z_1 - z_2) \quad (3.2.5)$$

薄レンズ近似の場合、 $y_1 = y_2 = y$ であり、レンズの曲率半径 R_1, R_2 を用いると
 $z_1 = y^2/2R_1$ 、 $z_2 = y^2/2R_2$ 。レンズの曲率半径 R_1, R_2 は次のように表される。

$$R_1^2 = y_1^2 + (R_1 - z_1)^2 = R_1^2 + y^2 - 2R_1z_1$$

$$R_2^2 = y_2^2 + (-R_2 - z_2)^2 = R_2^2 + y^2 - 2R_2z_2$$

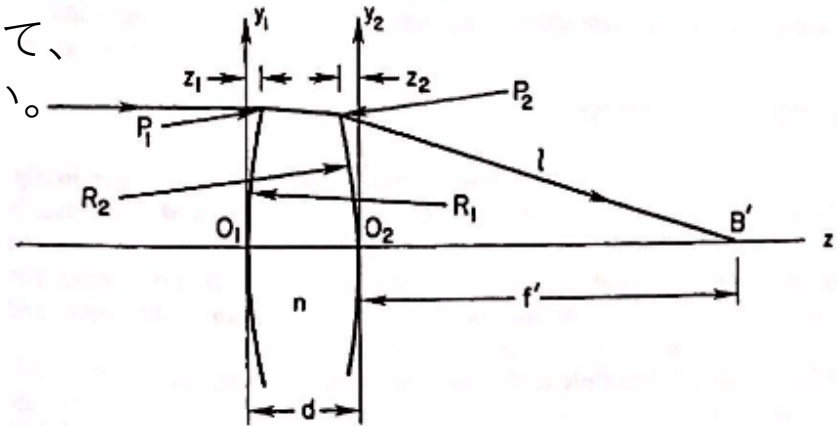
$$l^2 = y^2 + f'^2 = f'^2(1 + y^2/f'^2)$$

$$\text{平方根} + y^2/f'^2 \ll 1 \text{より} \Rightarrow l - f' = y^2/2f'$$

\Rightarrow

$$\frac{1}{f'} = (n - 1) \left(\frac{1}{R_1} - \frac{1}{R_2} \right)$$

(2.4.4)



3.2.d Dispersing Prism

ガラスのプリズムを考える。

$n = n(\lambda)$ であるから、分散は θ も λ の関数。

プリズムを縦に分割する軸に対して対称であるから

$$s_1 = s_2 = s, \quad \varphi_1 = \varphi_2 = \varphi, \quad a_1 = a_2 = a$$

フェルマーの原理より、(グレーティング上部の光線) = (グレーティング下部の光線)

$$\Leftrightarrow 2L \cos \varphi = nt \quad (3.2.6)$$

$$\theta \text{の} \lambda \text{依存性は} \quad t \frac{dn}{d\lambda} = -2L \sin \varphi \frac{d\varphi}{d\lambda} = -2L \sin \varphi \frac{d\varphi}{d\theta} \frac{d\theta}{d\lambda} \quad (3.2.7)$$

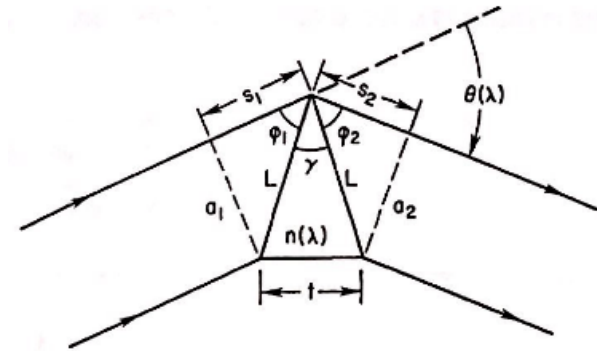
$$\Leftrightarrow \frac{d\theta}{d\lambda} = \left(\frac{t}{a}\right) \frac{dn}{d\lambda} \quad (3.2.8)$$

$$\begin{aligned} L \sin \varphi &= a \\ \theta &= \pi - \gamma - 2\varphi \\ \frac{d\varphi}{d\theta} &= -\frac{1}{2} \end{aligned}$$

ほとんどの光学ガラスの屈折率は、A, Bを定数として $n(\lambda) = A + (B/\lambda^2)$ (3.2.9) で表せる。

$$\frac{d\theta}{d\lambda} = -\left(\frac{2t}{a}\right) \left(\frac{B}{\lambda^3}\right) \quad \text{角度分散(angular dispersion)} \quad (3.2.10)$$

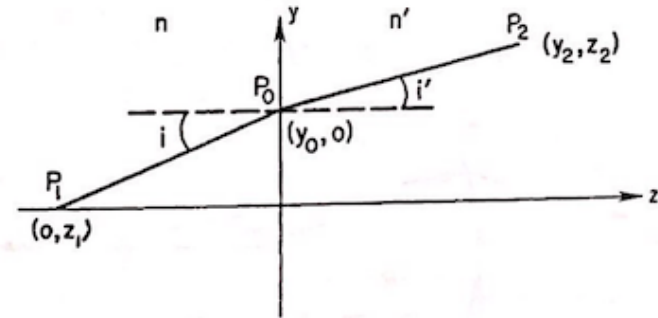
→ 微分が負 → θ と λ は逆相関



3.3 Wave interpretation of Fermat's principle

フェルマーの原理の物理解釈として波動としての光を考える。

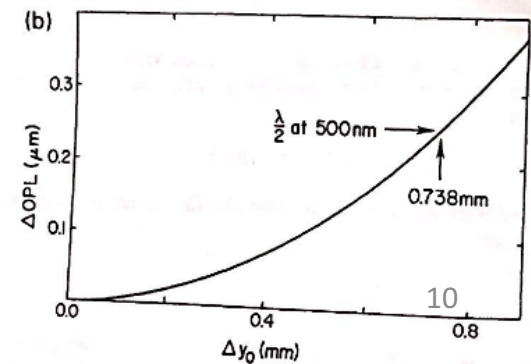
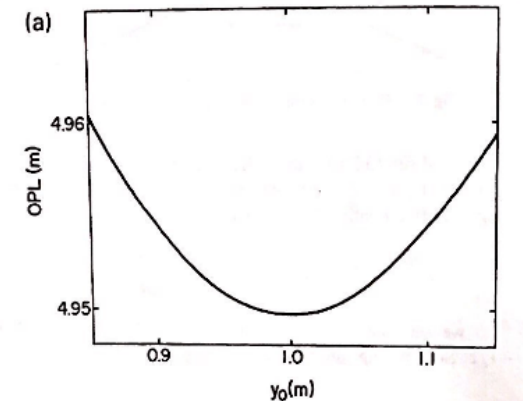
右図で、 $n = 1$ 、 $n' = \sqrt{5/2}$ だった場合、
 $P_2 = (2, 2)$, $P_1 = (0, -1)$, $P_0 = (1, 0)$ [m]の光路を考える。



$$OPL = n \sqrt{(z_1^2 + y_0^2)} + n' \sqrt{[z_2^2 + (y_2 - y_0)^2]}$$

最短経路で進む始めの波に対し、
 半周期遅れで進む(干渉で打ち消しあう)波は、
 $\lambda = 500\text{nm}$ のとき $\Delta(OPL) = 250\text{nm}$ 、 $\Delta y_0 = 1475\lambda$ (0.738mm)

もし、 $p_0 = (1.2, 0)$ とした時、 P_1, P_2 は
 解ではなくなるり、光路長における
 半波長の変化は $\Delta y_0 = 2.8\lambda$ に対応する。



フェルマーの原理
→最も光が通りやすい経路を与える。

3.4 Fermat's Principle and reflecting surface

3.4.a Concave mirror, one conjugate at infinity

凹面鏡における無限遠からの光について、
フェルマーの原理から光路長について必要な条件は、任意の y について

$$2f = l + (f - \Delta)$$

が成立すること。一方図から

$$l^2 = y^2 + (f - \Delta)^2 \quad (3.4.1)$$

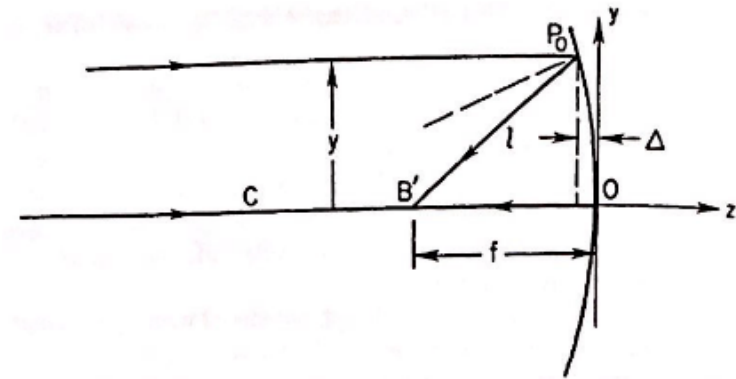
l について解くと $y^2 = -4f\Delta$ であり、 Δ を z として表すと、

$$y^2 = -4fz \quad (3.4.2)$$

となり、頂点 $(0,0)$ の放物線になる。

焦点距離 f を頂点における曲率半径 R として表すと、以下が得られる。

$$y^2 = 2Rz \quad (3.4.3)$$



図において R と z は負値

3.4.b concave mirror, Both Conjugates finite

凹面鏡において、B、B'から出る光線について、
フェルマーの原理より以下が成り立つ。

$$l + l' = -(s + s')$$

2つの三角形から

$$l^2 = y^2 + (-s - \Delta)^2$$

$$l'^2 = y^2 + (-s' - \Delta)^2$$

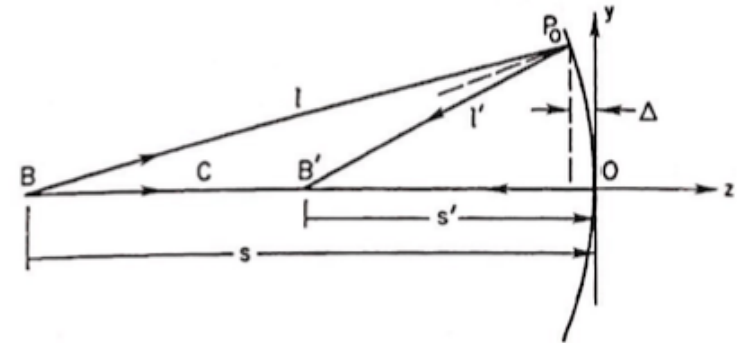
l と l' についてとき、 $\Delta = -z$ とすると

$$y^2 - 4z \frac{ss'}{s + s'} + 4z^2 \frac{ss'}{(s + s')^2} = 0 \quad (3.4.4) \quad \rightarrow \text{楕円の式}$$

$2a = s + s'$ 、 $b^2 = ss'$ ととおけば、以下の式になる。

$$\frac{(z - a)^2}{a^2} + \frac{y^2}{b^2} = 1$$

$s = \infty$ では、 $s' = -f$ を焦点とする放物面。



3.4.c convex mirror, Both Conjugates finite

凸面鏡において仮想的な物体BからB'に像ができる場合を考える。
フェルマーの原理より

$$l + l' = 2s'$$

幾何配置から

$$d^2 = y^2 + (-s - \Delta)^2$$

$$l + d = s' - s$$

$$l'^2 = y^2 + (s' + \Delta)^2$$

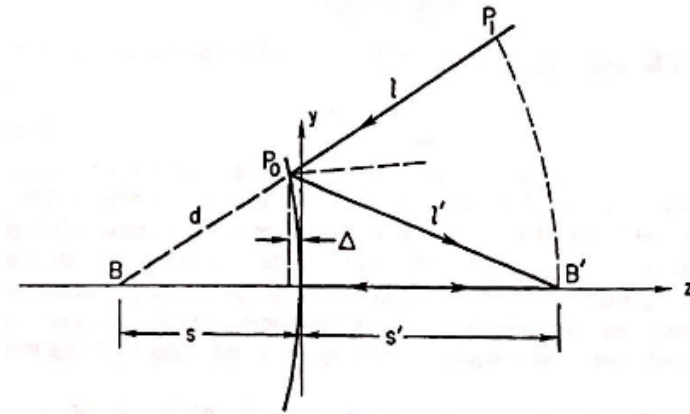
l 、 l' 、 d を消去し、 $\Delta = -z$ を入れると以下を得る。

$$y^2 - 4z \frac{ss'}{s + s'} + 4z^2 \frac{ss'}{(s + s')^2} = 0 \quad (3.4.6) \rightarrow s \text{ と } s' \text{ が逆符号であり双曲線の式}$$

$2a = s + s'$ 、 $b^2 = -ss'$ ととおけば、以下の式になる。

$$\frac{(z - a)^2}{a^2} - \frac{y^2}{b^2} = 1$$

$s = \infty$ では、 $s' = -f$ を焦点とする放物面。



3.5 Conic sections

これまで出た曲線は全て2次曲線=円錐の切断面(conic section)
 頂点($y = 0$)の曲率半径を R とおくと、

$$y^2 - 4z \frac{ss'}{s+s'} + 4z^2 \frac{ss'}{(s+s')^2} = 0 \quad \longrightarrow \quad \frac{ss'}{s+s'} = \frac{R}{2} \quad (3.5.1)$$

a 、 b を楕円の半径として、離心率 $e = \sqrt{a^2 - b^2}/a$ より、

$$1 - e^2 = \frac{4ss'}{(s+s')^2} \quad \Leftrightarrow \quad e^2 = \frac{(s-s')^2}{(s+s')^2} \quad (3.5.2)$$

$$\Rightarrow y^2 - 2Rz + (1 - e^2)z^2 = 0 \quad (3.5.3)$$

$K = -e^2$ はconic constantと呼ばれる。

oblate ellipsoid:	$e^2 < 0$	$K > 0$
sphere:	$e = 0$	$K = 0$
prolate ellipsoid:	$0 < e < 1$	$-1 < K < 0$
paraboloid:	$e = 1$	$K = -1$
hyperboloid:	$e > 1$	$K < -1$

拡大率 $m = -s'/s$ を用いて $K = -e^2$ は以下のように書ける。

$$e^2 = \frac{(s - s')^2}{(s + s')^2} \longrightarrow K = -\frac{(m + 1)^2}{(m - 1)^2} \quad (3.5.4)$$

$r^2 = x^2 + y^2$ として、曲面に拡張する。

$$y^2 - 2Rz + 4(1 - e^2)z^2 = 0 \longrightarrow r^2 - 2Rz + 4(1 + K)z^2 = 0 \quad (3.5.5)$$

鏡面各点における曲率半径 R_{lc} を導出する。

$z' = dz/dr$ 、 $z'' = d^2z/dr^2$ とおくと、

$$\begin{aligned} R_{lc} &= \frac{(1 + z'^2)^{3/2}}{z''} \\ &= r \left(1 - K \frac{r^2}{R^2}\right)^{3/2} \\ &= R \left(1 - K \frac{\varepsilon^2}{16F^2}\right)^{3/2} \end{aligned}$$

ここで $F = |f|/D$ (F値)、 $r = \varepsilon D/2$ として、 $0 < \varepsilon < 1$ である。

$K = 0$ (球面) のとき、 $R_{lc} = R$

$r \rightarrow 0$ (頂点の近く) のとき、 $R_{lc} \rightarrow R$ であり、近軸近似の時には曲面形状は頂点と等しい。

ただし一般的な鏡面はフェルマーの原理に完全には従わない。→収差の原因

3.6 Fermat's Principle and the Atmosphere

3.6.a Atmospheric refraction

屈折率 $n = n(z)$ 、 z 軸が鉛直方向の平行大気を仮定する

$$n\kappa = n \cos \alpha \frac{d\alpha}{dz} = \sec \alpha \frac{\partial n}{\partial y} - \sin \alpha \frac{\partial n}{\partial z} \quad \longrightarrow \quad nK = n \cos \alpha \frac{d\alpha}{dz} = -\sin \alpha \frac{dn}{dz} \quad (3.6.1)$$

大気の屈折率変化は上部で $n = 1$ 、地表で $n = 1.00029$ 程度のため、 α が 90° 近くでなければ光路はほとんど変化しない。

α をほぼ定数、 α_0 を大気上部からの入射角(天頂角; zenith angle)として

$$\delta\alpha = -\tan \alpha_0 \delta n = -(n - 1) \tan \alpha_0$$

天体からくる光であれば、 $\delta n = (n - 1) > 0$ であり $\delta\alpha < 0$

→天頂角は常に実際の光路に比べて小さくなる

n は波長の関数であり、 $\sigma = 1/\lambda$ [A^{-1}]、 $p_s = 1.01325 \times 10^5$ [Pa]、 $T_s = 288.15$ [K] のとき

$$(n_s - 1) \times 10^6 = 64.328 + \frac{29498.1 \times 10^{-6}}{146 \times 10^{-6} - \sigma^2} + \frac{255.4 \times 10^{-6}}{41 \times 10^{-6} - \sigma^2}$$

$$n - 1 = \frac{p T_s}{p_s T} (n_s - 1)$$

R_0 (constant of refraction) を (実際の天頂からの距離) - (見た目の天頂からの距離) とすると表のような関係式になる。

Index of Refraction of Atmosphere ^a		
λ (nm)	$n - 1$	R_0 (arc-sec)
320	3.049E-4	62.86
400	2.982	61.48
550	2.929	60.38
700	2.907	59.93
1000	2.890	59.58

^a Values of n from Allen (1973). Index given at $T = 0^\circ\text{C}$, pressure = 760 mm Hg, water vapor pressure = 4 mm Hg.

$$R_0 = \frac{n_0^2 - 1}{2n_0^2}$$

3.6.b Atmospheric turbulence

光がほぼ鉛直方向から来ると仮定して、鉛直からの角度を α ($\alpha \ll 1$)とする。
2次元面のフェルマーの原理(3.1.10)より

$$n \cos \alpha \frac{d\alpha}{dz} = \underbrace{\sec \alpha}_{\sim 1} \frac{\partial n}{\partial y} - \underbrace{\sin \alpha}_{\sim 0} \frac{\partial n}{\partial z} \quad \longrightarrow \quad n \frac{\partial \alpha}{\partial z} = \frac{\partial n}{\partial y} \quad (3.6.4)$$

$$n = 1 + \delta n \text{ } (\delta n \text{ は屈折率の局所平均}) \\ \text{として1次の摂動のみを考えると} \quad \longrightarrow \quad \frac{\partial \alpha}{\partial z} = \frac{\partial(\delta n)}{\partial y} \quad (3.6.5)$$

大気の上部の境界を $z = 0$ として、 $z = s$ までで光が曲がる角度は

$$\alpha_y(s) = \int_0^s \left[\frac{\partial(\delta n)}{\partial y} \right]_z dz \quad (3.6.6)$$

と書き表せ、以下の特徴を持つ。

- α_y および α_x は時間の関数
- $\langle \delta n \rangle = 0$
- $\langle \alpha_x^2 \rangle \neq 0$ であり、平均の周辺をランダムに変動する。

またこの効果によりシーイング(seeing)が引き起こされ、典型的には a few-arcsec 程度で星の像が揺らぐ。

3.7 Concluding remarks

3.7.a Rays and wavefronts

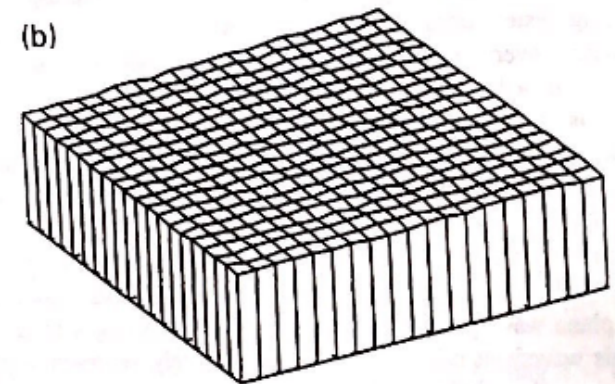
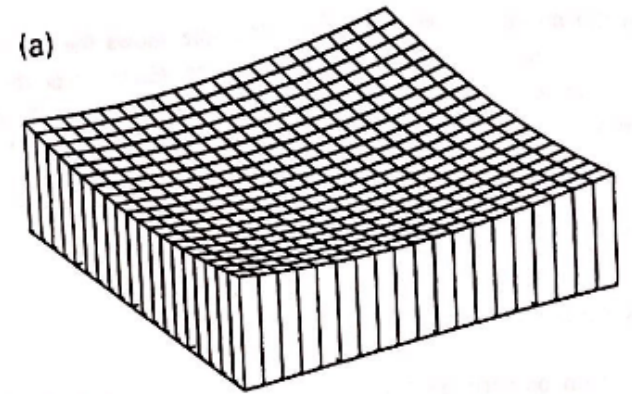
理想光学系における光線や光路長を求めるとき

- フェルマーの原理を考える
- 光源からの光路長の一致する面(波面)を導出

波面の特徴

- 一様な媒質中では点源から出た光の波面は球面
- 光線は波面に対して常に垂直

フェルマーの原理が口径の中で成り立たない点を持つ場合、結像する元となる波面は球面ではなくなり、収差が発生する。



3.7.b How perfect is "perfect"?

フェルマーの原理→あくまで幾何光学

実際には光は波動の性質を持ち、光路差(optical path difference; OPD)が1波長より小さい構造は分解できない。OPDを Δ として、 $\Delta \approx \lambda$ とすると、角度分解できる最小の大きさは

$$\theta_{min} \approx \lambda/D \quad (3.7.1)$$

